

ГОСУДАРСТВЕННЫЙ КОМИТЕТ СССР  
ПО НАРОДНОМУ ОБРАЗОВАНИЮ

ИЗВЕСТИЯ  
ВЫСШИХ УЧЕБНЫХ ЗАВЕДЕНИЙ

**ПРИБОРОСТРОЕНИЕ**

ТОМ XXXII

**№ 1**

**ОТДЕЛЬНЫЙ ОТТИСК**

ИЗДАНИЕ ЛЕНИНГРАДСКОГО  
ОРДЕНА ТРУДОВОГО КРАСНОГО ЗНАМЕНИ  
ИНСТИТУТА ТОЧНОЙ МЕХАНИКИ И ОПТИКИ  
**1989**

# Информационно-измерительная техника

УДК 621.391

## КВАЗИОПТИМАЛЬНАЯ ОЦЕНКА ВРЕМЕНИ ПРИХОДА СЛУЧАЙНОГО ИМПУЛЬСА С НЕИЗВЕСТНОЙ ДЛИТЕЛЬНОСТЬЮ

А. П. ТРИФОНОВ, А. В. ЗАХАРОВ

Воронежский государственный университет

Предложена аппаратурная реализация измерителя времени прихода гауссовского сигнала и найдено максимальное расстояние оценки.

Рассмотрим оценку времени прихода  $\tau_0$  случайного импульса

$$s(t, \tau_0) = I[(t - \tau_0)/\gamma_0] \xi(t), \quad I(x) = \begin{cases} 1, & |x| < 1/2, \\ 0, & |x| \geq 1/2, \end{cases} \quad (1)$$

наблюдаемого в течение интервала времени  $[-T/2; T/2]$  на фоне гауссовского белого шума  $n(t)$  с односторонней спектральной плотностью  $N_0$ . В (1) обозначено:  $\xi(t)$  — реализация центрированного стационарного гауссовского случайного процесса со спектром мощности  $G(\omega)$ ,  $\gamma_0$  — длительность импульса. В [1] предложена аппаратурная реализация измерителя времени прихода импульса (1) для случая, когда его длительность априори известна. Здесь предполагается, что кроме времени прихода  $\tau_0$ , подлежащего оценке, неизвестна также длительность  $\gamma_0$  импульса (1). Аналогично [1] будем считать, что длительность импульса  $\gamma_0$  значительно больше времени корреляции процесса  $\xi(t)$ , т. е.

$$\mu = \gamma_0 \Delta f_E / 2 \gg 1, \quad \Delta f_E = \int_{-\infty}^{\infty} G^2(\omega) d\omega / (2\pi G_m^2), \quad (2)$$

где  $G_m$  — максимальное значение спектра мощности  $G(\omega)$  в полосе частот анализируемого сигнала.

Для оценки времени прихода импульса (1) с неизвестной длительностью можно использовать измеритель, предложенный в [1]. Тогда оценка времени прихода  $\hat{\tau}$  определится как положение абсолютного (наибольшего) максимума функции

$$M(\tau) = \int_{-\gamma/2}^{\gamma/2} y^2(t) dt. \quad (3)$$

Здесь  $y(t) = \int_{-\infty}^{\infty} x(t') h(t - t') dt'$  — выходной сигнал фильтра с импульсной переходной функцией  $h(t)$ ;  $x(t) = s(t, \tau_0) + n(t)$  — реализация наблюденных данных;  $\gamma$  — предполагаемое значение неизвестной длительности импульса (1). Выбор функции  $h(t)$  осуществляется так же, как в [1]. Аналогично [1] измеритель (3) может быть реализован с помощью последовательно соединенных фильтра с импульсной переходной функцией  $h(t)$ , квадратора и интегратора, из выходного сигнала кото-

рого вычитается тот же сигнал, задержанный на время  $\gamma$  линией задержки. В отличие от [1] время задержки  $\gamma$  может не совпадать с истинным значением длительности  $\gamma_0$  сигнала (1).

Найдем характеристики оценки  $\hat{\tau}$ . Обозначим  $\varepsilon = (\gamma - \gamma_0)/\gamma_0$  — относительное отклонение ожидаемого значения длительности  $\gamma$  сигнала от ее истинного значения  $\gamma_0$ . Аналогично [2, 3] выделим сигнальную и шумовую функции на выходе измерителя (3). Полагая затем, что  $\mu \gg 1$  (2), и решая соответствующее уравнение Фоккера—Планка—Колмогорова, найдем смещение  $b(\hat{\tau})$  (систематическую ошибку) и рассеяние  $V_\varepsilon(\hat{\tau})$  (средний квадрат ошибки) оценки:

$$\begin{aligned} b(\hat{\tau}) &\simeq 0, \quad V_\varepsilon(\hat{\tau}) \simeq \gamma_0^2 \left\{ \frac{\varepsilon^2}{8} + \exp\left(\frac{z^2 d |\varepsilon|}{c^2}\right) \left[ 1 - \Phi\left(\frac{z}{c} \sqrt{2d|\varepsilon|}\right) \right] \times \right. \\ &\times \left[ \frac{13c^2}{z^4} + \frac{|\varepsilon|}{z^2} (3c - 16d) + \varepsilon^2 \left( \frac{12d^2}{c^2} - \frac{4d}{c} \right) + z^2 |\varepsilon|^3 \frac{d^2}{c^3} \left( 4 - \frac{16d}{3c} \right) \right] + \\ &+ \left. \sqrt{\frac{|\varepsilon|}{\pi}} \left[ 2z\varepsilon^2 \frac{d^{3/2}}{c^2} \left( \frac{4d}{3c} - 1 \right) + |\varepsilon| \frac{d^{1/2}}{z} \left( 3 - \frac{22d}{3c} \right) + 13 \frac{cd^{1/2}}{z^3} \right] \right\}, \end{aligned} \quad (4)$$

где  $c = 1 - g/2$ ,  $d = 1 - g(1 + \operatorname{sgn} \varepsilon)/2$ ,

$$g = \{q \int_{-\infty}^{\infty} \rho(\omega) [2 + q\rho(\omega)] |H(\omega)|^4 d\omega\} / \{\int_{-\infty}^{\infty} [1 + q\rho(\omega)]^2 |H(\omega)|^4 d\omega\},$$

$$H(\omega) = \int_{-\infty}^{\infty} h(t) \exp(-j\omega t) dt, \quad \rho(\omega) = G(\omega)/G_m, \quad q = 2G_m/N_0,$$

$$\Phi(x) = \int_{-\infty}^x \exp\left(-\frac{t^2}{2}\right) dt / \sqrt{2\pi}, \quad \operatorname{sgn} \varepsilon = \begin{cases} 1, & \varepsilon > 0, \\ 0, & \varepsilon = 0, \\ -1, & \varepsilon < 0, \end{cases}$$

$$z^2 = \gamma_0 \{q \int_{-\infty}^{\infty} \rho(\omega) |H(\omega)|^2 d\omega\}^2 / \{4\pi \int_{-\infty}^{\infty} [1 + q\rho(\omega)]^2 |H(\omega)|^4 d\omega\} -$$

отношение сигнал/шум для импульса (1). Выражения (4) являются приближенными, однако их точность возрастает с увеличением  $z$  и  $\mu$ . Полагая в (4)  $\varepsilon = 0$ , т. е. считая, что измеритель (3) содержит линию задержки на время, равное длительности  $\gamma_0$  импульса (1), получаем рассеяние  $V_0(\hat{\tau})$  оценки времени прихода импульса с априори известной длительностью [1]. Формулы (4) существенно упрощаются, если  $q \ll 1$ , а  $z \gg 1$ , что обеспечивает высокую апостериорную точность оценки. Тогда

$$\begin{aligned} V_\varepsilon(\hat{\tau}) &\simeq \gamma_0^2 \left\{ \frac{\varepsilon^2}{8} + \exp(z^2 |\varepsilon|) \left[ 1 - \Phi(z \sqrt{2|\varepsilon|}) \right] \left[ \frac{13}{z^4} + 13 \frac{|\varepsilon|}{z^2} + \right. \right. \\ &+ \left. \left. 8\varepsilon^2 - \frac{4}{3} z^2 |\varepsilon|^3 \right] + \sqrt{\frac{|\varepsilon|}{\pi}} \left[ \frac{2}{3} z\varepsilon^2 - \frac{13|\varepsilon|}{3z} + \frac{13}{z^3} \right] \right\}, \end{aligned} \quad (5)$$

$$z^2 = \gamma_0 \left\{ q \int_{-\infty}^{\infty} \rho(\omega) |H(\omega)|^2 d\omega \right\}^2 / \left\{ 4\pi \int_{-\infty}^{\infty} |H(\omega)|^4 d\omega \right\}.$$

Случай, когда  $q \ll 1$ , представляет основной практический интерес. Действительно, при  $q \gg 1$  уровень аддитивной помехи  $n(t)$  относительно мал и время прихода случайного импульса может быть с удовлетворительной точностью определено непосредственно по наблюдаемой реализации  $x(t)$ .

Ухудшение точности оценки  $\hat{\tau}$ , возникающее из-за незнания длительности сигнала (1), можно охарактеризовать отношением  $\chi(\varepsilon) = -V_\varepsilon(\tau)/V_0(\tau)$ . На рис. 1 приведена зависимость  $\chi(\varepsilon)$  при  $q \ll 1$  для различных значений отношения сигнал/шум  $z$ . Кривая 1 соответствует  $z=5$ ; 2 —  $z=10$ ; 3 —  $z=15$ . Как следует из рис. 1, проигрыш  $\chi(\varepsilon)$  возрастает с увеличением отношения сигнал/шум  $z$  и относительного отклонения  $\varepsilon$  времени задержки  $\gamma$  от истинного значения длительности  $\gamma_0$  импульса (1). При этом проигрыш в точности оценки времени прихода

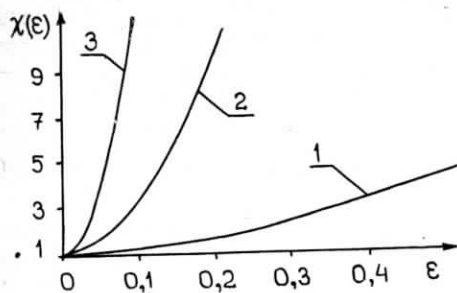


Рис. 1

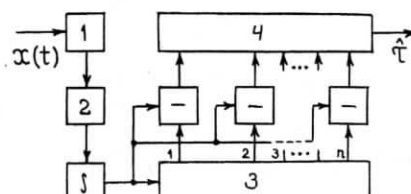


Рис. 2

случайного импульса из-за неточного знания его длительности может быть значительным.

Пусть неизвестная длительность импульса (1) принимает значения из априорного интервала  $[\Gamma_1; \Gamma_2]$ . Тогда для увеличения точности оценки времени прихода импульса можно использовать измеритель, показанный на рис. 2, где 1 — фильтр с импульсной переходной функцией  $h(t)$ , 2 — квадратор, 3 — линия задержки с  $n$  отводами, 4 — решающее устройство, которое фиксирует положение  $\hat{\tau}_n$  наибольшего максимума среди абсолютных максимумов  $n$  входных сигналов. С  $k$ -го отвода линии задержки снимается сигнал, задержанный на время  $\Delta_k = \Gamma_1 + (2k-1)(\Gamma_2 - \Gamma_1)/2n$ ,  $k=1, n$ . При  $n=1$  измеритель совпадает с рассмотренным в [1] устройством для оценки времени прихода импульса, длительность которого

$$\Gamma = (\Gamma_1 + \Gamma_2)/2. \quad (6)$$

Найдем характеристики оценки  $\hat{\tau}_n$ . Обозначим:  $\tilde{z}^2 = z^2 \Gamma / \gamma_0$  — отношение сигнал/шум для импульса, длительность которого равна средней длительности (6) из интервала возможных значений длительностей  $[\Gamma_1; \Gamma_2]$ , и  $\delta = (\Gamma_2 - \Gamma_1)/2\Gamma$  — максимально возможное отклонение длительности сигнала (1) от средней длительности (6). Используя (4), (5), получим максимальное рассеяние  $V_\delta(\hat{\tau}_n)$  оценки  $\hat{\tau}_n$ . При  $q \ll 1$  и  $z \gg 1$

$$V_{\delta}(\hat{\tau}_n) = \Gamma^2 \left\{ \frac{\delta^2}{8n^2} + \exp\left(\frac{\tilde{z}^2 |\delta|}{n}\right) \left[ 1 - \Phi\left(\tilde{z} \sqrt{\frac{2|\delta|}{n}}\right) \right] \times \right. \\ \left. \times \left[ \frac{13}{\tilde{z}^4} + 13 \frac{|\delta|}{\tilde{z}^2 n} + 8 \frac{\delta^2}{n^2} - \frac{4}{3} \frac{\tilde{z}^2 |\delta|^3}{n^3} \right] + \sqrt{\frac{|\delta|}{n\pi}} \left[ \frac{2\tilde{z}\delta^2}{3n^2} - \frac{13|\delta|}{3\tilde{z}n} + \frac{13}{\tilde{z}^3} \right] \right\}. \quad (7)$$

Максимальный проигрыш в точности оценки  $\hat{\tau}_n$ , возникающий из-за незнания длительности сигнала (1), можно охарактеризовать отношением  $\chi_n(\delta) = V_{\delta}(\hat{\tau}_n)/V_0(\hat{\tau})$ . На рис. 3 приведены зависимости  $\chi_n(\delta)$  для различных значений  $n$  и  $z$ . Сплошные кривые соответствуют  $z=5$ , штриховые —  $z=10$ . Кривые, рассчитанные для  $n=1$ , показывают максимальный проигрыш в точности оценки  $\hat{\tau}$  при использовании измерителя [1]. Как следует из рис. 3, точность оценки времени прихода импульса с неизвестной длительностью быстро возрастает с увеличением числа отводов  $n$  линии задержки 3 (рис. 2). Например, при  $z=10$ ,  $\delta=0,2$  максимальное рассеяние оценки  $\hat{\tau}_n$  уменьшается в 5 раз по сравнению с измерителем [1] при увеличении числа отводов линии задержки до 3.

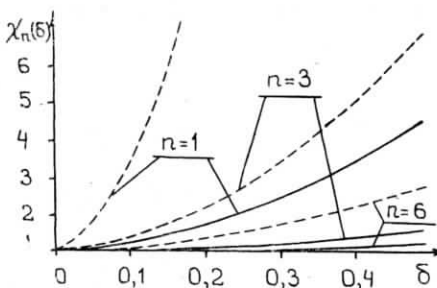


Рис. 3

Таким образом, применение устройства, структурная схема которого изображена на рис. 2, позволяет повысить точность оценки времени прихода случайного импульса с неизвестной длительностью. При этом число отводов линии задержки 3 (см. рис. 2) выбирается, согласно (7), в зависимости от требований, предъявляемых к точности оценки и к степени простоты технической реализации измерителя.

#### ЛИТЕРАТУРА

1. Трифонов А. П., Захаров А. В. Квазиоптимальная оценка времени прихода случайного импульса//Приборостроение. — 1986. — Т. 29. — № 5. — С. 3—6. (Изв. высш. учеб. заведений).
2. Трифонов А. П., Захаров А. В. Прием сигнала с неизвестной задержкой при наличии модулирующей помехи//Радиоэлектроника. — 1986. — № 4. — С. 36—41. (Изв. высш. учеб. заведений).
3. Галун С. А. Применение уравнения Фоккера—Планка—Колмогорова для анализа обработки разрывных сигналов//Прикладная математика и механика. — Саратов: Изд-во Саратовского ун-та, 1983. — С. 75—87.

Рекомендована кафедрой  
радиофизики

Поступила в редакцию  
14 июня 1988 г.